

التدخل بين التركيب الوراثي والبيئة في الرز الهوائي المزروع في عدة مناطق من العالم

فوزي زياد عزو عبد الكريم حايف كاظم عبد الجليل رحيم عبود

مركز تكنولوجيا البذور/وزارة العلوم والتكنولوجيا

الملخص

نفذت هذه الدراسة في محطة ابحاث التوثيق/مركز تكنولوجيا البذور/وزارة العلوم والتكنولوجيا لتقدير 61 تركيب وراثي من الرز الهوائي مدخل من المعهد الدولي لابحاث الرز IRRI في الفلبين ونفس التركيبة الوراثية زرعت في 7 بيئات مختلفة ضمن دولتين هي الصين والهند خلال الموسم الزراعي 2009. استخدم تحليل التركيبة الوراثي + التركيبة الوراثية × البيئة (GGE) لتقدير صفات التبخير في التزهير وحاصل الحبوب (طن/hecatare). اظهرت النتائج استقرار وتفوق التركيبة الوراثية (GGE) لصفتي التبخير في التزهير وحاصل الحبوب (طن/hecatare) وملائمتها للبيئة H (الهند).

INTERACTION BETWEEN GENOTYPES AND ENVIRONMENT IN AEROBIC RICE CULTIVATE IN SEVERAL EREA OF THE WORLD

Fawzi Z. Azzo Abd Al-Karem H. Kadim Abd Al-Jalel R. Abod

Seed Technology Center/Ministry of Science and Technology

ABSTRACT

This study was carried out in the Tuwaitha research station/Seed Technology Center/Ministry of Science and Technology to assess 61 aerobic rice genotypes introduced from International Rice Research Institute IRRI in Philippines where the same genotypes were planted in 7 different environments in the two countries China and India during the agricultural season 2009. Genotypes + Genotype x Environment (GGE) were used to evaluate two characters which were early flowering and grain yield (t/ha). The results showed that genotypes (2, 3, 4, and 10) were stable and superior in grain yield (t/ha), early flowering, and suitable in H environment (India).

ايضية تحدث في فترة الانبات كانت هوائية وتتضمن عمل 1136 جين في حين كانت هناك 13 فعالية ايضية لا هوائية شملت 730 جين من اصل 110 فعالية ايضية و9596 جين وان عمل هذه الجينات الهوائية يتوقف بعدم وجود الهواء وعكس الحال في جينات الفعاليات الايضية اللاهوائية.

أن استخدام تحليل التركيبة الوراثي + التركيبة الوراثي × البيئة (GGE) هو من أفضل الطرق لدراسة العلاقة بين التركيبة الوراثية والبيئة والتجارب التي تعتمد على عاملين، ويكون من رسوم Biplot مكونة من قيم PCA1 و PCA2 إذ يمثل PCA1 التركيبة الوراثية ضمن الموضع بينما PCA2 يمثل التركيبة الوراثية غير المناسبة للموضع وقد وضع Yan (1999) هذا التحليل.

المقدمة

بعد الرز الهوائي من التصريحات الحديثة من الرز حيث نجح كل من الباحثين في الفلبين واندونيسيا وكولومبيا من استنباط اصناف من الرز الهوائي من خلال التهجين بين الرز الياباني والهندي في منتصف الثمانينيات من القرن الماضي (Bouman، 2007) في حين تمكّن الباحثون الصينيون من استنباط اصناف من الرز الهوائي من تهجين رز المناطق المرتفعة Upland ورز المناطق المنخفضة Lowland (Huaqi وآخرون، 2002) و (Bouman وآخرون، 2007) ويتميّز هذا التصريح من الرز بالحاصل العالمي الذي يصل من 4 – 6 (طن/hectare) وتحمله للجفاف كما يمتاز بنمو الجنين في ظروف هوائية حيث اشار Narsai وآخرون (2009) إلى ان 10 فعاليات

المواد وطرق العمل

نفذت هذه الدراسة خلال الموسم الزراعي 2009 في محطة ابحاث التربة التابعه لمركز تكنولوجيا البذور/وزارة العلوم والتكنولوجيا. زرعت بذور 61 تركيب وراثي من الرز الهوائي المدخل من المعهد الدولي لأبحاث الرز IRRI باعتماد طريقة الزراعة الجافة بتاريخ 2009/6/14 بواقع 4 خطوط لكل تركيب وراثي وبطول 3م للخط الواحد وفق مواصفات المعهد الدولي لأبحاث الرز IRRI (مكرر واحد لكل تركيب وراثي). سمدت التجربة بالسماد المركب NP 27:27 وبكمية 200 كغم/هكتار كدفعة أولى عند الزراعة ثم سمدت التجربة بسماد البويريا (N 46%) وبكمية 120 كغم/هكتار كدفعة ثانية في مرحلة التفرعات وفقاً لتوصيات وزارة الزراعة العراقية. نفذت نفس التجربة في 7 بيئات خارج العراق شملت دولتين هما الهند والصين وبتوقيتات مختلفة تبعاً لموعود الزراعة لكل منطقة اجرية عمليات خدمة التربة من تسميد وري ومكافحة ادغال حسب توصيات وزارة الزراعة لكل من الهند والصين وجدول (1) يبين أسماء الموقع. بلغ عدد الوحدات التجريبية 488 وحدة.

استخدم تصميم القطاعات العشوائية الكاملة RCBD إذ اعتبرت الواقع (البيئات) كمكررات للتجربة والتركيب الوراثي هي العامل وفق توصيات المعهد الدولي لأبحاث الرز IRRI. حللت النتائج احصائياً بواسطة البرنامج الاحصائي 7 Cropstat وباستخدام اياعز Cross site analysis لتحليل AMMI حيث يتعامل هذا الاياعز مع البيانات على أساس ان البيانات تقوم مقام المكررات وتحلل التجربة على هيئة RCBD وتحسب معدلات البيئات والتركيب الوراثي فقط اما التداخل فهو يمثل قيمة الخطاء (جدول 2)، كما يقوم بتفسير المكونات الرئيسية PCA من مجموعة مربعات تداخل التركيب الوراثي \times البيئات على هيئة نسبة مؤوية. قورنت المعدلات عند مستوى احتمال 0.05 باستخدام اختبار أقل فرق معنوي LSD وتبيين من النتائج تميز التركيب الوراثي (1، 2، 3، 4، 7، 10، 13، 14، 24، 28 و 35) بالتباين بالتزهير والحاصل العالي لذا ادخلت هذه التركيب العشرة مع البيانات الثمانية في تحليل التركيب الوراثي + التركيب الوراثي \times البيئة (GGE).

يعمل GGE حسب ما ذكره Yan (2001) و 2002 على:-

- 1 - تصنيف التراكيب الوراثية مستنداً على أدائها في أي البيئات من بيئات الدراسة.
 - 2 - تصنيف البيئات اعتماداً على الأداء النسبي للتراكيب الوراثية قيد الدراسة.
 - 3 - تحديد أفضل تركيب وراثي في كل بيئة.
 - 4 - تقييم التركيب الوراثي على أساس متوسط الحاصل والاستقرار.
 - 5 - تقييم البيئة على أساس قدرة تمييز وتمثيل هذه البيئة.
- فسر مجموع مربعات PCA1 55.6% من مجموع مربعات تداخل التركيب الوراثي \times البيئة بينما فسرت مجموع مربعات PCA2 21.7% من مجموع مربعات التداخل وكانت التراكيب الوراثية متواجدة بعيدة عن نقطة تقاطع المحورين PCA1 و PCA2 بينما البيئات كانت قريبة إلى نقطة التقاطع Samonte (2005). تواجهت التراكيب الوراثية المتوقفة بالحاصل والمتألفة لبيئات الهدف بعيد عن نقطة تقاطع المحورين PCA1 و PCA2 (Mahalingam 2006). لاحظ Rashid وأخرون (2008) تجمع اصناف واباء الرز البسمتي يمين الشكل اما الطفرات غير المستقرة فكانت يسار الشكل. كان التراكيب الوراثية من الرز أكثر ملائمة للبيئات كلما ابتعدت عن نقطة تقاطع المحورين PCA1 و PCA2 و عند رسم شكل يصل بين التراكيب الوراثية فالبيئات الملائمة لهذه التراكيب الوراثية تكون خارج هذا الشكل Samonte (2008). أشار Muthuramu وأخرون (2011) إلى ان التراكيب الوراثية الأقرب إلى نقطة تقاطع المحورين PCA1 و PCA2 تدل على حساسيتها للجفاف وكلما ابتعدت دل ذلك على تحملها للجفاف. كانت البيئات الملائمة للتراكيب الوراثية الاغنى بالحديد في زوايا الشكل وقد فسر مجموع مربعات PCA1 70.4% من مجموع مربعات التداخل بينما مجموع مربعات PCA2 فسر 15.36% من مجموع مربعات التداخل Nasrullah و Suwarte (2011).
- يهدف البحث إلى تقييم تراكيب وراثية من الرز الهوائي في بيئات متنوعة في العالم وتحديد التراكيب الوراثية المبكرة في التزهير وذات حاصل حبوبى عالي اعتماداً على تحليل التركيب الوراثي + التركيب الوراثي \times البيئة (GGE).

جدول 1: المواقع قيد الدراسة مع رموزها.

Code	Location	Code	Location
A	China-Kumming	G	India-Imphal, Manipur
D	India-Mawagam, Gujarat	H	India-Rewa
E	India-Ludhiana, Punjab	K	India-Allahabad District, U. P.
F	India-Kaul, Haryana	M	Iraq-Twatha

،22، 57، 38، 50، 30، 34، 15، 17، 33، 61، 40، 46. بلغ أعلى حاصل للحبوب (5.90) طن/هكتار للتراكيب الوراثي 10، ولم يختلف معنوياً عن التراكيب 2، 5، 15، 3، 4، 26، 18، 16، 23، 20، 25، 28، 6، 36، 14، 22، 34، 24، 33، 21، 12، 20، 35، 27، 53، 47، 37، 51، 29، 1، 17، 38، 13، 45، 57، 8، 41، 56، 54، 11، 7، 31، 55، 46، 19، 43، 40، 30 و 44، بينما أدنى حاصل بلغ (3.02) طن/هكتار للتراكيب الوراثي 61 ولم يختلف معنوياً عن التراكيب 52، 44، 50، 58، 39، 32، 42، 48، 60، 59، 49، 9، 48، 46، 55، 31، 7، 11، 54، 56، 41، 8، 57، 40، 30، 13، 38، 17، 1، 29، 51، 37، 47، 53، 27، 43، 19 و 45. يستدل من هذه النتائج تميز 10 تراكيب وراثية بالحاصل العالي والتباين في التزهير ولم تختلف معنوياً فيما بينها ولكل الصفتين وهذه التراكيب 24، 2، 3، 4، 10، 1، 13، 28.

يلاحظ من نتائج البيئات تبخير البيئة D في التزهير إذ بلغ عدد الأيام من الزراعة إلى 50% تزهير (74.44) يوم، أما البيئة M فتأخرت بالتزهير إذ بلغ عدد الأيام من الزراعة إلى التزهير (99.50) يوم ولم تختلف معنوياً عن البيئة K. تفوقت البيئة H في حاصل الحبوب إذ بلغ الحاصل (10.02) طن/هكتار أما أدنى حاصل بلغ (0.79) طن/هكتار للبيئة A.

النتائج والمناقشة

تشير النتائج في الجدول (2) إلى وجود فروق معنوية عند مستوى احتمال 0.05 لكل من التراكيب الوراثية والبيئات والمكونات الرئيسة PCA لصفتي الفترة من الزراعة إلى 50% تزهير وحاصل الحبوب (طن/هكتار)، هذه النتائج تتفق مع ما أشار إليه Samonte وآخرون، (2008) و Samonte وآخرون (2005) من وجود فروق معنوية بين البيئات والتراكيب الوراثية لصفة حاصل الحبوب (طن/هكتار)، واختلف مع ما وجده Samonte وآخرون، (2005) من عدم وجود فروق معنوية لقيم PCA لصفة حاصل الحبوب (طن/هكتار). قد يعود سبب التأثير المعنوي للتراكيب الوراثية والبيئات في هذا البحث إلى اختلاف البيئات فيما بينها واختلاف المصادر الوراثية للتراكيب.

اظهرت النتائج في جدول (3) تبخير التراكيب الوراثي 32 في التزهير إذ بلغ عدد الأيام من الزراعة إلى 50% تزهير (73.87) يوم، ولم يختلف معنوياً عن التراكيب الوراثية 24، 52، 24، 7، 2، 3، 4، 1، 10، 35، 13 و 28، في حين تأخر التراكيب الوراثي 58 في التزهير، إذ بلغ عدد الأيام من الزراعة إلى 50% تزهير (94.50) يوم، ولم يختلف معنوياً عن التراكيب 42، 56، 43، 12، 44، 48، 47، 18، 8، 31، 20، 14، 53، 39، 59، 9، 55، 26، 41، 11، 54، 16، 21، 45.

جدول 2: تحليل تباين AMMI لصفة الزراعة إلى 50% تزهير وحاصل حبوب (طن/hecattar) لـ 61 تركيب وراثي من الرز الهوائي والمزرروع في 8 بيئة للموسم 2009.

الفترة من الزراعة إلى 50% تزهير			
Source of variance	D. F.	S. S.	M. S.
Location	7	35808.7	5115.52*
Genotypes	60	10690.3	178.17*
Genotypes x Location (Error)	420	310931.0	
PCA 1	66	11694.0	177.18*
PCA 2	64	9025.0	141.01*
PCA 3	62	4388.4	70.78*
PCA 4	60	3214.0	53.56*
Genotypes x Environment Residual	168	2609.5	
Total	487	77429.9	
حاصل الحبوب (طن/hectatar)			
Location	7	4010.98	572.99*
Genotypes	60	228.96	3.81*
Genotypes x Location (Error)	420	1531.57	
PCA 1	66	654.30	9.91*
PCA 2	64	538.30	8.41*
PCA 3	62	173.44	2.79*
PCA 4	60	86.71	1.44*
Genotypes x Environment Residual	168	78.79	
Total	487	5771.52	

*معنوي عند مستوى احتمال 0.05

جدول 3: معدل الفترة من الزراعة إلى 50% التزهير (يوم) وحاصل الحبوب (طن/hecattar) لـ 61 تركيب وراثي من الرز الهواني والمزروع في 8 بيئة مختلفة للموسم 2009.

رمز التراكيب الوراثية	٪ 50 تزهير حاصل (طن/hectar)	رمز البيانات	٪ 50 تزهير حاصل (طن/hectar)	الحاصل (طن/hectar)	٪ 50 تزهير حاصل (طن/hectar)	الحاصل (طن/hectar)
1	81.37	32	4.75	73.87	3.54	73.87
2	78.50	33	5.80	86.25	4.98	86.25
3	79.37	34	5.48	87.75	4.96	87.75
4	80.12	35	5.52	82.25	5.07	82.25
5	85.50	36	5.63	86.25	4.92	86.25
6	84.75	37	4.92	85.00	4.62	85.00
7	78.50	38	4.30	88.37	4.81	88.37
8	91.00	39	4.21	88.75	3.47	88.75
9	89.37	40	3.95	86.12	4.16	86.12
10	81.25	41	5.90	89.37	4.22	89.37
11	89.62	42	4.27	93.62	3.47	93.62
12	93.12	43	5.01	93.00	4.42	93.00
13	82.37	44	4.86	90.12	4.03	90.12
14	90.00	45	4.94	90.00	4.87	90.00
15	86.87	46	5.58	86.12	4.39	86.12
16	89.87	47	5.25	91.12	4.60	91.12
17	86.62	48	4.79	92.37	3.79	92.37
18	91.12	49	5.39	82.50	3.81	82.50
19	84.50	50	4.42	88.25	3.21	88.25
20	90.75	51	5.14	85.12	4.64	85.12
21	90.00	52	5.03	77.37	3.14	77.37
22	86.25	53	4.95	93.25	4.53	93.25
23	83.50	54	5.22	89.75	4.27	89.75
24	74.62	55	4.99	89.37	4.38	89.37
25	84.87	56	5.14	94.00	4.24	94.00
26	89.37	57	5.48	88.50	4.16	88.50
27	84.25	58	4.49	94.50	3.19	94.50
28	82.37	59	4.90	89.00	3.68	89.00
29	84.25	60	4.65	87.75	3.78	87.75
30	88.25	61	4.12	88.75	3.02	88.75
31	90.25		4.33			1.90 = 8.58 %50 تزهير حاصل (طن/hectar)
						LSD 0.05
رمز البيانات	٪ 50 تزهير حاصل (طن/hectar)	رمز البيانات	٪ 50 تزهير حاصل (طن/hectar)			
A	89.90	G	0.79	91.26	7.21	0.69 = 3.13 %50 تزهير حاصل (طن/hectar)
D	74.44	H	5.59	79.32	10.02	
E	78.98	K	4.51	97.41	1.66	
F	83.08	M	4.40	99.50	2.26	
						LSD 0.05

اختلفت النتائج في شكل (2) عن الشكل (1) لكن ظلت التراكيب الوراثية (2، 3، 4 و 10) أقرب للبيئة H وهذا يطابق لما وجدناه في الشكل (1) ولما اشار إليه Redona (2009) من تفوق هذه التراكيب الوراثية في حاصل الحبوب والتباين في التزهير في هذه البيئة وهذا يقودنا إلى ان استخدام تحليل التراكيب الوراثي + التراكيب الوراثي \times البيئة GGE اعتماداً على قيم PCA1 و PCA2 و PCA1 و PCA3 يوصلنا إلى نفس النتيجة وهذا ايضاً يتفق مع نتائج شكل (3).

لم يعطي الشكل (4) اي تفسير دقيق حول تقييم التراكيب الوراثية عدى تجمع هذه التراكيب في الوسط الشكل وابتعاد البيئات عن المركز مما يدل على استقرار هذه التراكيب في كلا الصفتين وهذا ينطبق على كل من الشكلين (5 و 6) وعليه فلا يمكن استخدام تحليل التراكيب الوراثي + التراكيب الوراثي \times البيئة GGE بالاعتماد على العلاقة بين قيم PCA2 و PCA3 و PCA2 و PCA4 و PCA3 و PCA4). ان هذه النتيجة توضح لنا ان اعتماد تحليل التراكيب الوراثي + التراكيب الوراثي \times البيئة على قيمة PCA1 هي أكثر دقة في تحديد التراكيب الوراثية الملائمة للبيئات الهدف والتي تميز بالاستقرار في صفات التباين في التزهير والحاصل العالمي. يعود السبب في ذلك إلى ان PCA1 هو يمثل التراكيب الوراثية الملائمة لبيئة الهدف (Yan, 1999).

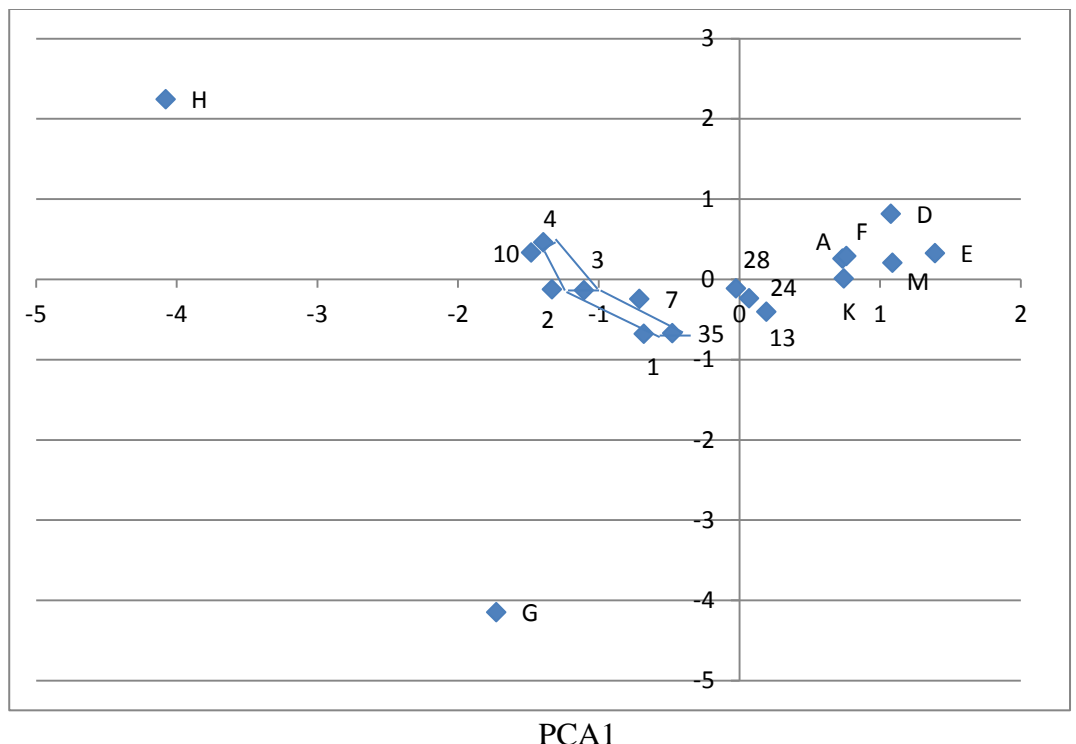
الاستنتاجات والتوصيات

نستنتج من هذه الدراسة تميز التراكيب الوراثية (2، 3، 4 و 10) بالتباين في التزهير والحاصل العالمي والاستقرار في كلا الصفتين وملائمتها لبيئة H (المهد) وان أفضل طريقة لتحديد التراكيب الوراثية الملائمة لبيئة الهدف بالاعتماد على تحليل التراكيب الوراثي + التراكيب الوراثي \times البيئة يكون بالاعتماد على قيم PCA1.

فسرت قيم PCA1 لصفة الفترة من الزراعة إلى %50 تزهير 36.6% من مجموع مربعات تداخل التراكيب الوراثي \times البيئة بينما فسرت قيم PCA2 %10.2 PCA4 %12.3 PCA3 %14.5 ولنفس الصفة (جدول 2)، أما صفة حاصل الحبوب (طن/هكتار) فقد فسرت قيم PCA1 %21.4 PCA2 %17.6 PCA3 %14.5 PCA4 %12.7 (جدول 2)، وهذا يتفق مع ما اشار إليه Samonte وآخرون (2005) و Suwarte Nasrullah (2011) من اختلاف قيم PCA1 في تفسيرها للتداخل وان قيم PCA1 تشير بوضوح إلى التراكيب الوراثية الملائمة للبيئات المختلفة وكلما زادت النسبة دل ذلك على وجود تراكيب وراثية اكثر ملائمة لبيئة الهدف.

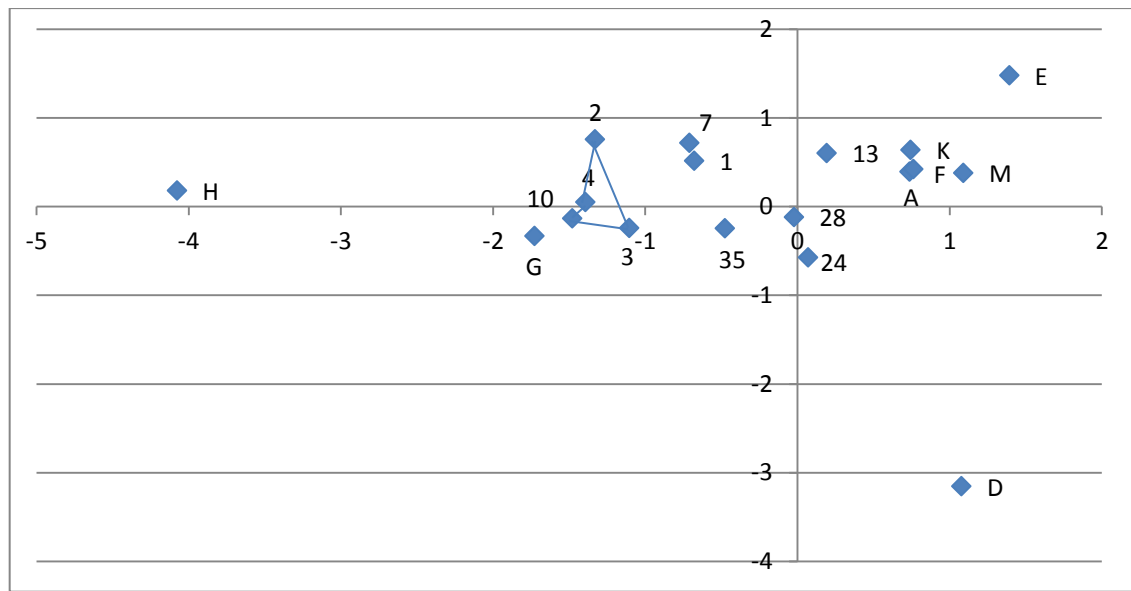
يظهر الشكل (1) ابعاد البيئات عن نقطة تقاطع المحورين PCA1 و PCA2 في حين تجمعت التراكيب الوراثية في المنتصف وهذا يشير إلى استقرار هذه التراكيب في صفات التباين في التزهير والحاصل العالمي. كما يلاحظ ان التراكيب الوراثية (2، 3، 4 و 10) كانت أقرب للبيئة H والتراكيب الوراثية (1، 2، 3 و 35) أقرب للبيئة G وهذا يطابق لما اشار إليه Redona (2009) من تفوق هذه التراكيب الوراثية في حاصل الحبوب والتباين في التزهير في كلا البيئتين بينما هذه النتائج تختلف ما اشار إليه Mahalingam وآخرون (2006) و Samonte وآخرون (2005) من ابعاد التراكيب الوراثية المستقرة عن المركز. يلاحظ من الشكل أيضاً كلما ابتعدت التراكيب من نقطة تقاطع المحورين PCA2 و PCA1 دل ذلك على تحملها للجفاف (Muthuramu وآخرون 2011) وعليه فقد تكون التراكيب الوراثية (2، 3، 4 و 10) تراكيب متحملة للجفاف.

PCA2



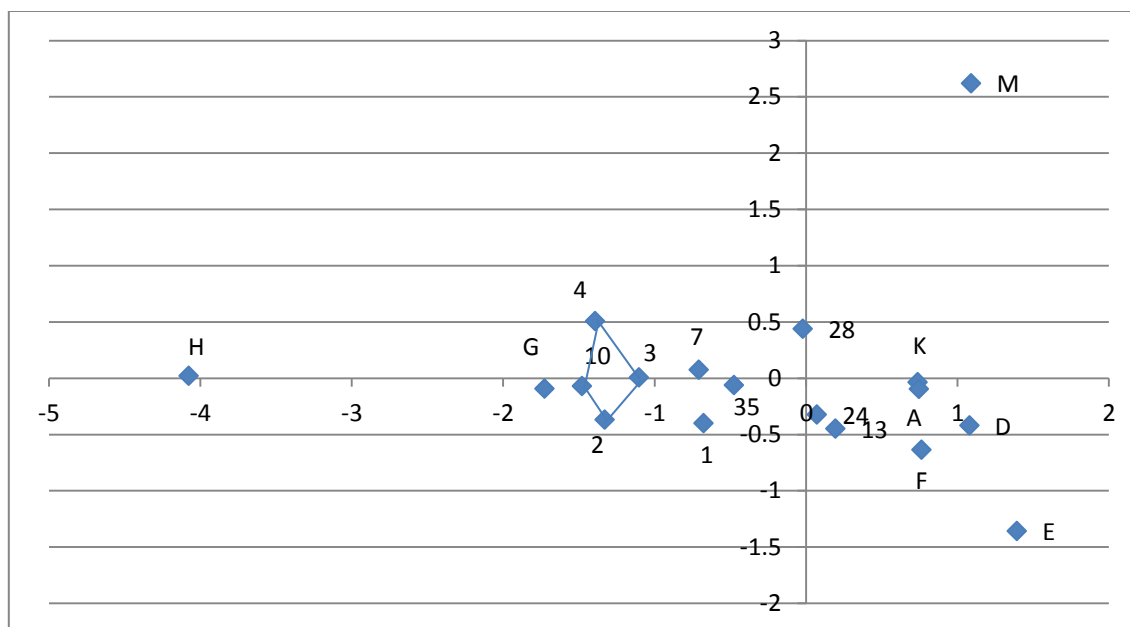
شكل 1: تحليل التركيب الوراثي + التركيب الوراثي \times البيئة لـ 10 تراكيب وراثية من الرز الهوائي المزروع في 8 بيوت .
يبين العلاقة بين قيم PCA1 و PCA2.

PCA3



شكل 2: تحليل التركيب الوراثي + التركيب الوراثي \times البيئة لـ 10 تراكيب وراثية من الرز الهوائي المزروع في 8 بيوت .
يبين العلاقة بين قيم PCA1 و PCA3.

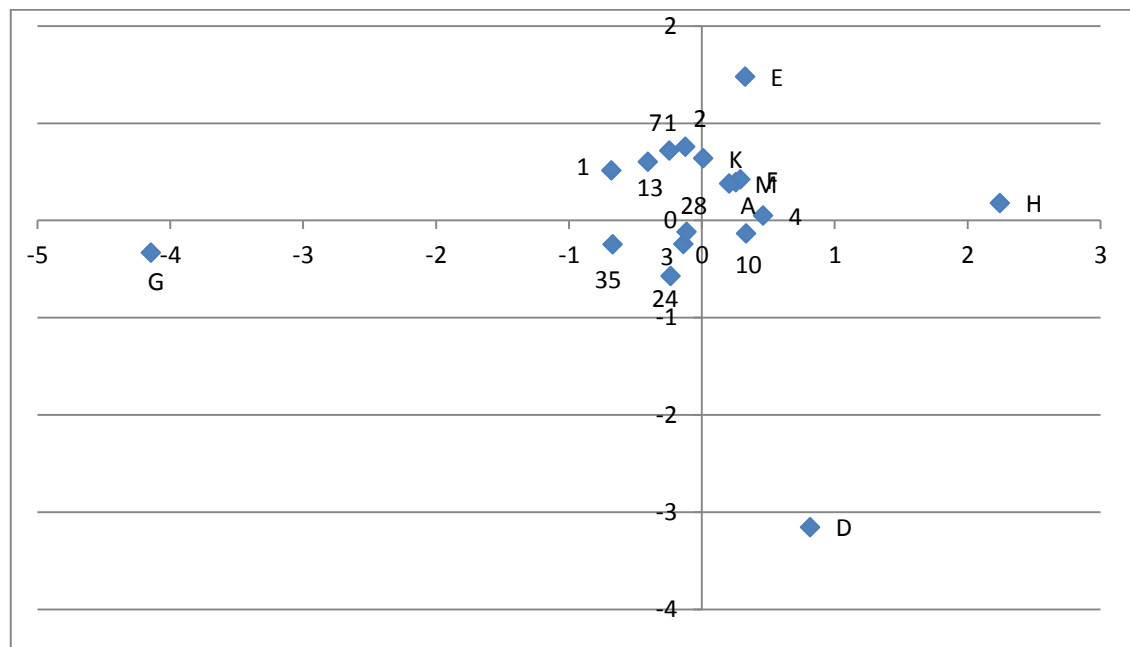
PCA4



PCA1

شكل 3: تحليل التركيب الوراثي + التركيب الوراثي × البيئة لـ 10 تراكيب وراثية من الرز الهوائي المزروع في 8 بيئة يبين العلاقة بين قيم PCA1 و PCA4.

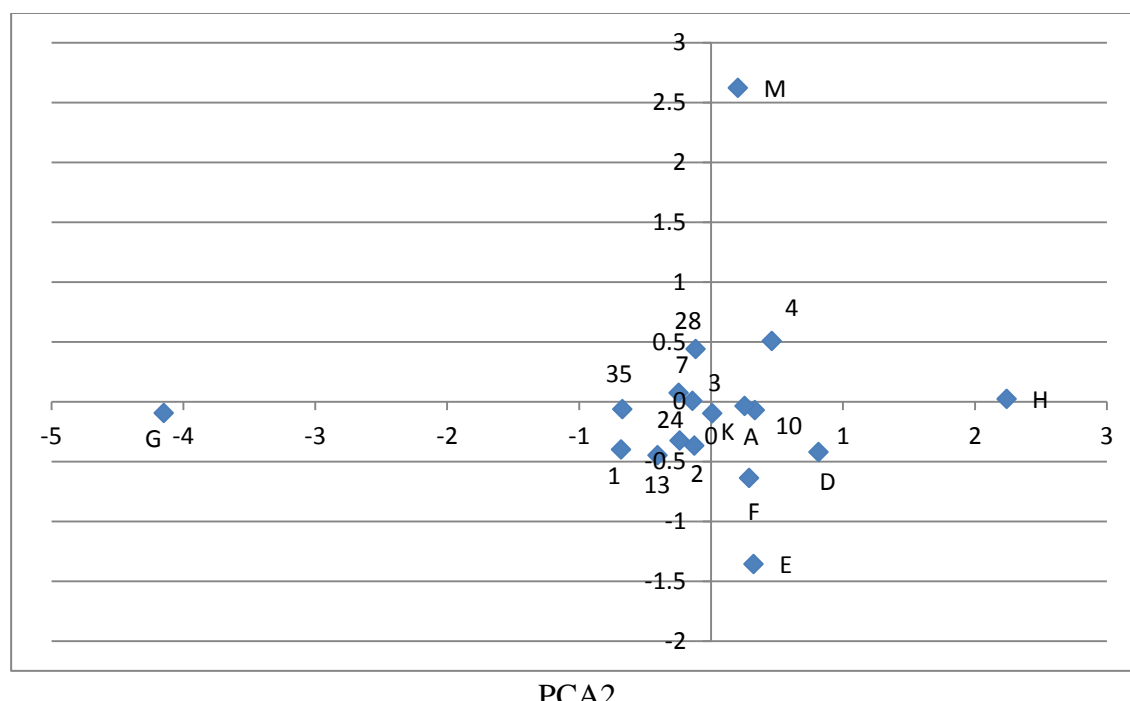
PCA3



PCA2

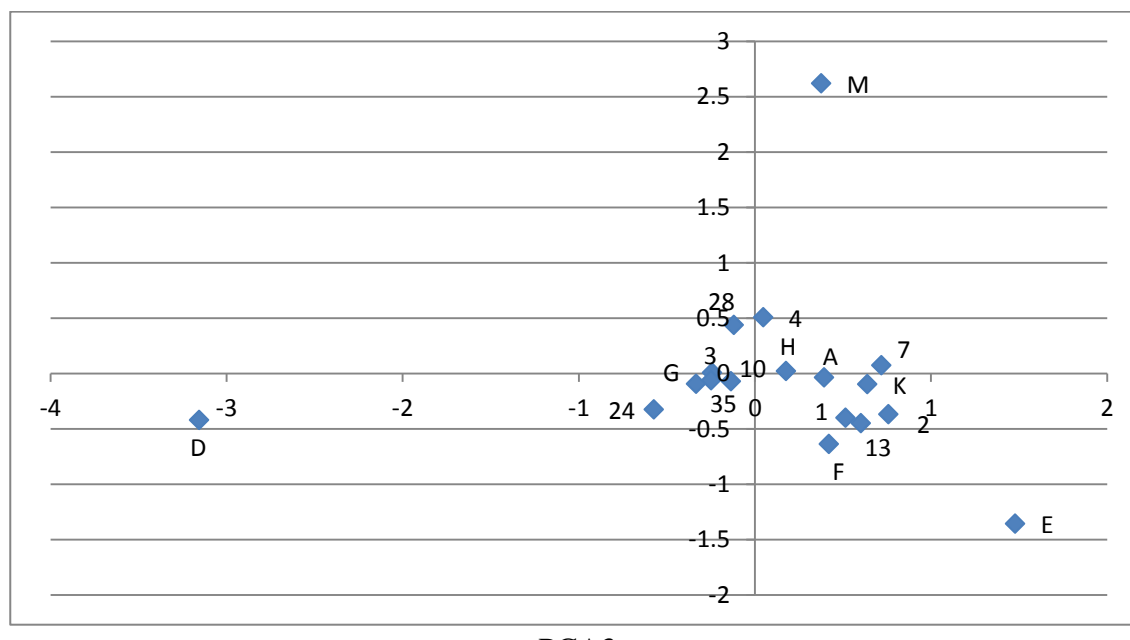
شكل 4: تحليل التركيب الوراثي + التركيب الوراثي × البيئة لـ 10 تراكيب وراثية من الرز الهوائي المزروع في 8 بيئة يبين العلاقة بين قيم PCA2 و PCA3.

PCA4



شكل 5: تحليل التركيب الوراثي + التركيب الوراثي × البيئة لـ 10 تراكيب وراثية من الرز الهوائي المزروع في 8 بيئة يبين العلاقة بين قيم PCA2 و PCA4.

PCA4



شكل 6: تحليل التركيب الوراثي + التركيب الوراثي × البيئة لـ 10 تراكيب وراثية من الرز الهوائي المزروع في 8 بيئة يبين العلاقة بين قيم PCA3 و PCA4.

- المصادر
- Redona, E. D. (2009). Summary Report of the INGER Nurseries. IRRI. 211 – 232.
- Samonte, S. O. PB; L. T. Wilson; A. M. McClung and J. C. Medley. (2005). Targeting Cultivars onto Rice Crowning Environment Using AMMI and SREG GGE Biplot Analysis. *Crop Science*. 45: 2414 – 2424.
- Samonte, S. O. PB; L. T. Wilson; R. E. Tabien and A. M. McClung. (2008). Use of Gross Income as a Measure of Productivity in Rice Breeding. *Canadian Journal of Plant Science*. 1015 – 1022.
- Suwarto and Nasrullah. (2011). Analysis of Effect of Genotype x Environment Interaction on Rice Grains Iron Content in Indonesia Using Graphical GGE-biplot Method. *Electronic Journal of Plant Breeding*. 2: 288 – 294.
- Yan, W. (1999). Methodology of Cultivar Evaluation Based on Yield Trial Data-with Special Reference to Winter Wheat in Ontario. Ph. D. Thesis. University of Guelph. Canada.
- Yan, W. (2001). GGE Biplot – A Windows Application for Graphical Analysis of Multi-environment Trail Data and Other Types of Two – Way Data. *Agronomy Journal*. 93: 1111 – 1118.
- Yan, W. (2002). Singular-Value Partitioning in Biplot Analysis of Multi-environment Trail Data. *Agronomy Journal*. 94: 990 – 996.
- Bouman, B. A. M. (2007). Aerobic Rice: 10 Frequently Asked Questions. Ebookbrowse.com/aerobic-rice-faq-pdf-d26613507.
- Bouman, B. A. M.; R. M. Lampayan and T. P. Tuong. (2007). Water Management in Irrigated Rice: Coping with Water Scarcity. IRRI. Los Banos. Philippines. pp. 54.
- Huaqi, W.; B. A. M. Bouman; D. Zhao; W. Changgui and P. F. Moya. (2002). Aerobic Rice in Northern China: Opportunities and Challenge. IRRI. Los Banos. Philippines. 143 – 154.
- Mahalingam, L.; S. Mahendran; R. Chandra Babu and G. Atlin. (2006). AMMI Analysis for Stability of Grain Yield in Rice (*Oryza sativa* L.). *International Journal of Botany*. 2: 104 – 106.
- Muthuramu, S.; S. Jebaraj and M. Gnanasekaram. (2011). AMMI Biplot Analysis for Drought Tolerance in Rice (*Oryza sativa* L.). *Research journal of Agricultural Science*. 2: 98 – 100.
- Narsai, R.; K. A. Howell; A. Carroll; A. Ivanova; A. H. Millar and J. Whelan. (2009). Defining Core Metabolic and Transcriptomic Responses to Oxygen Availability in Rice Embryos and Young Seedlings. *Plant Physiology*. 151: 306 – 322.
- Rashid, M.: A. A. Cheema and M. Ashraf. (2008). Numerical Analysis of Variation Among Basmati Rice Mutants. *Pakistan Journal of Botany*. 40: 2413 – 2417.